

การจัดจำแนกและวิเคราะห์ความสัมพันธ์เชิงวิวัฒนาการทางชีวโมเลกุลของ
ไอโซแลเตเชื้อรามาไรเซียมที่มีศักยภาพก่อโรคกับเพลี้ยกระโดดสิน้ำตาล

Identification and Biomolecular Phylogenetic Analysis of Potential *Metarhizium* spp. Isolates
Infecting Brown Planthopper

อารยา บุญศักดิ์^{1,2,3} วิภา หอมหวาน^{1,3} วีระเทพ พงษ์ประเสริฐ^{1,3} และ^{*}
สุพรรณิกา อินตัณณท์^{1,3*}

Araya Bunsak^{1,2,3}, Wipa Homhaul^{1,3}, Weerathep Pongprasert^{1,3} and Suphannika Intanon^{1,3*}

Received: April 3, 2023

Revised: May 25, 2023

Accepted: May 7, 2023

Abstract: Brown planthopper (BPH), *Nilaparvata lugens* (Stål), is an importantly economic insect pest of rice in Asia. The use of *Metarhizium* spp., entomopathogenic fungi, is one of the highly effective tools to control BPH. The total of 15 highly potential *Metarhizium* spp. isolates to control BPH was discovered from forest soils in Phetchabun area. This study aimed to identify and reconstruct phylogenetic relationships of those *Metarhizium* spp. isolates based on morphological characters (colony and conidia) and the ITS region of 18S rDNA. Their morphology data of colony and conidia were analyzed by cluster analysis together with those of *M. anisopliae* (PB-75), *M. anisopliae*, *M. album*, *M. majus* and *M. granulomatis* and a dendrogram of their relationships was constructed. Whereas, molecular identification was done by submitting ITS sequences of all isolates to GenBank using BLAST program. Then, phylogenetic analysis using neighbor-joining method was performed with the closely related *Metarhizium* spp. retrieved from GenBank and *M. frigidum* and *M. minus* were designated as the outgroups. The morphological identification results presented that all isolates were potentially identified as *Metarhizium anisopliae* based on the length of conidia less than 9 μm as well as a dendrogram constructed from cluster analysis that all isolates were grouped with *M. anisopliae*. Meanwhile, BLAST results showed that ITS region of 18S rDNA of those isolates were closely related to *M. anisopliae* with the similarity index higher than 99%. Phylogenetic analysis clustered all 15 isolates with the group of *M. anisopliae* and clearly separated from outgroup species.

Keywords: *Metarhizium anisopliae*, brown planthopper, *Nilaparvata lugens*, identification, phylogenetic analysis

¹ ภาควิชาชีวศาสตร์การเกษตร คณะเกษตรศาสตร์ ทรัพยากรธรรมชาติและสิ่งแวดล้อม มหาวิทยาลัยนเรศวร จังหวัดพิษณุโลก 65000

¹ Department of Agricultural Science, Faculty of Agriculture, Natural Resources and Environment, Naresuan University, Phitsanulok 65000, Thailand.

² หลักสูตรสาขาชีวเคมีศาสตร์ คณะเทคโนโลยีการเกษตรและอาหาร มหาวิทยาลัยราชภัฏพิบูลสงคราม จังหวัดพิษณุโลก 65000

² Agricultural Science Program, Faculty of Food and Agricultural Technology, Pibulsongkram Rajabhat University, Phitsanulok 65000, Thailand.

³ ศูนย์วิจัยควบคุมศัตรูพืชโดยชีวินทรีย์แห่งชาติ ภาคเหนือตอนล่าง มหาวิทยาลัยนเรศวร จังหวัดพิษณุโลก 65000

³ National Biological Control Research Center, Lower Northern Regional Center, Naresuan University, Phitsanulok 65000, Thailand

*Corresponding author : suphannikai@nu.ac.th

บทคัดย่อ: เพลี้ยกระโดดสีน้ำตาล (*Nilaparvata lugens* (Stål)) จัดเป็นแมลงศัตรูข้าวที่สำคัญทางเศรษฐกิจ ในเอเชีย เชื้อรามeteาไรเชี่ยมเป็นเชื้อรามที่สำคัญมากในการควบคุมเพลี้ยกระโดด สีน้ำตาล จากการคัดแยกเชื้อรามeteาไรเชี่ยมจากดินป่าในจังหวัดเพชรบูรณ์ พบร่องรอย 15 ไโโชเลต มีประสิทธิภาพสูงในการควบคุมเพลี้ยกระโดดสีน้ำตาลได้ดี ในการศึกษานี้มีวัตถุประสงค์เพื่อจำแนกชนิดและสร้างรูปแบบความสัมพันธ์เชิงวิถุตนาการด้วยข้อมูลทางสัณฐานวิทยาของโคลนีและโคนิดีเยด้วย cluster analysis และสร้างแผนผังความสัมพันธ์ร่วมกับเชื้อรา *M. anisopliae* (PB-75), *M. anisopliae*, *M. album*, *M. majus* และ *M. granulomatis* ส่วนการจัดจำแนกทางชีวโมเลกุลนั้นได้จากการเทียบเคียงสายพันธุกรรมของ ITS จาก 18S rDNA กับข้อมูลใน GenBank ด้วยโปรแกรม BLAST และทำการวิเคราะห์ความสัมพันธ์เชิงวิถุตนาการร่วมกับข้อมูลเชื้อรา *Metarhizium* spp. ใกล้ชิด จากฐานข้อมูล GenBank ด้วยวิธีการ neighbor-joining โดยมี *M. frigidum* และ *M. minus* เป็น outgroups ผลการวิเคราะห์ลักษณะสัณฐานวิทยาพบว่า เชื้อรามeteาไรเชี่ยมทุกไโโชเลต มีแนวโน้มจัดเป็นเชื้อรา *Metarhizium anisopliae* เนื่องจากมีความหลากหลายของโคนิดีเยน้อยกว่า 9% ไม่ครอบคลุม และผลการวิเคราะห์รูปแบบความสัมพันธ์ได้จัดทุกไโโชเลตรวมกลุ่มใกล้ชิดกับ *M. anisopliae* ในขณะที่ ผลการค้นหาด้วย BLAST พบว่าสายพันธุกรรมของ ITS จาก 18S rDNA ของเชื้อรามeteาไรเชี่ยมทุกไโโชเลตมีความใกล้ชิดหรือเหมือนตรงกับข้อมูลของเชื้อรา *M. anisopliae* ด้วยสัดส่วนที่สูงกว่า 99% ผลการวิเคราะห์ความสัมพันธ์เชิงวิถุตนาการพบว่าเชื้อรามeteาไรเชี่ยมทั้ง 15 ไโโชเลตรวมกลุ่มใกล้ชิดกับเชื้อรา *M. anisopliae* แยกออกจากกลุ่ม outgroup อย่างชัดเจน

คำสำคัญ: เชื้อรามeteาไรเชี่ยม เพลี้ยกระโดดสีน้ำตาล การจัดจำแนก การวิเคราะห์ความสัมพันธ์เชิงวิถุตนาการ

คำนำ

เพลี้ยกระโดดสีน้ำตาล (*Nilaparvata lugens* (Stål)) จัดเป็นแมลงศัตรูสำคัญของข้าวในประเทศไทยและหลายประเทศในเอเชีย (สุวรรณ์, 2544) ทั้งตัวอ่อนและตัวเต็มวัยจะอาศัยอยู่ในดูดซึบ汁液จากบริเวณโคนน้ำข้าว ตั้งแต่ระดับลำต้นไปจนถึงระดับยอด ทำให้ข้าวมีอาการแห้งแล้งและมีมัตย หรือไม่สามารถอกรากได้ นอกจากนี้ยังเป็นแมลงพาหะถ่ายทอดเชื้อไวรัสโรคเขียวตี้ย (grassy stunt) และโรคใบหยิก (ragged stunt) มาก่อนข้าว ทำให้ผลผลิตลดลงเป็นอย่างมาก (Savary et al., 2012; Helina et al., 2019) การควบคุมเพลี้ยกระโดดสีน้ำตาลนิยมใช้สารเคมีฆ่าแมลงเป็นหลัก เนื่องจากสาเหตุ รวดเร็วและให้ผลที่ชัดเจน (สำนวน และวีรเทพ, 2548; วีรญา และคณะ, 2556) อย่างไรก็ตามผลกระทบของสารเคมีฆ่าแมลงที่มีต่อมนุษย์และสภาพแวดล้อมที่เกิดขึ้นตามมาบ้านทำให้ต้องหันหน้า หลีกเลี่ยง ลดหรือหยุดการใช้ลง และค้นหารือการอื่นๆ เช่นมาทดแทนการใช้

เชื้อจุลินทรีย์ เช่น เชื้อรามeteาไรเชี่ยม จัดเป็นทางเลือกที่สำคัญและมีศักยภาพควบคุมเพลี้ยกระโดดสีน้ำตาลได้ดี (Chinniah et al., 2016) อย่างไรก็ตาม เนื่องจากเชื้อรามeteาไรเชี่ยมนั้นมีความแปรปรวนในเชิงพันธุกรรมสูงทั้งในส่วนของการก่อโรค ความรุนแรง เอนไซเม แมลงไบเดอร์ และสารพันธุกรรม ซึ่งสามารถพบรอยแม่นในระดับของไโโชเลต (อารยา และคณะ, 2558; Chen et al., 2019) ทำให้ปัจจุบันการค้นหาเชื้อรามeteาไรเชี่ยมไโโชเลตใหม่ๆ จากแหล่งธรรมชาติต่างๆ เกิดขึ้นอย่างต่อเนื่อง

ในช่วงระยะที่ผ่านมา คณะผู้วิจัยได้ทำการค้นหาเชื้อรามeteาไรเชี่ยมที่มีศักยภาพในการลงทำลายเพลี้ยกระโดดสีน้ำตาลจากดินป่าในจังหวัดเพชรบูรณ์ พบร่องรอย 15 จำนวน 16 ไโโชเลต การจัดจำแนกเชื้อรามeteาไรเชี่ยมในเบื้องต้นใช้ลักษณะทางสัณฐานวิทยาของโคลนี และโคนิดีเยด้วยชีววิเคราะห์ทางชีวโมเลกุลได้ในระดับของ Genus

Metarhizium (อารยา และคณะ, 2564; Bunsak et al., 2023) โดยในบางกรณีสามารถใช้ร่องรอยของดับชนิดได้ เช่น กรณีของ *M. flavoviride* และ *M. anisopliae* กับ *M. majus* (Tulloch, 1976) แต่อย่างไร ก็ตาม ผลของการจัดจำแนกยังไม่สามารถครอบคลุมได้อย่างชัดเจนในทุกชนิดของเชื้อราเมتاไโรเชี่ยม และบางกรณีทำให้เกิดความคลาดเคลื่อนของการจัดจำแนกได้ เช่น กรณีของ *M. album* คัดแยกจากเพลี้ยกระโดดในศรีลังกา (Petch, 1931) และ *M. brunneum* คัดแยกจากชาตแมลงพัก homopteran ในพิลิปปินส์ (Petch, 1935) ซึ่งเดิมจัดเป็น synonyms กับ *M. anisopliae* รวมทั้งการระบุว่า *M. album* นั้นจัดเป็นระยะ immature ของ *M. anisopliae* แต่ภายหลังพบว่าเป็นชนิดเดียวกับเชื้อรา *M. anisopliae* ที่พบจากด้วง *Costelytra zealandica* (Latch, 1965) เป็นต้น แต่ทั้งนี้เนื่องจากการใช้ประโยชน์จากเชื้อราเมตาไโรเชี่ยม นั้นจำเป็นต้องอาศัยข้อมูลที่ชัดเจน มีความละเอียดในระดับของชนิดหรือต่ำกว่าสำหรับการอ้างอิงถึงประสิทธิภาพและศักยภาพในการใช้ประโยชน์ ซึ่งการจัดจำแนกทางชีวโมเลกุล (Hibbett and Taylor, 2013) เป็นวิธีการที่ได้รับการพัฒนาอย่างต่อเนื่อง และในปัจจุบันสามารถให้รายละเอียดได้ถึงระดับชนิดหรือต่ำกว่าได้อย่างละเอียด รวดเร็ว และมีความแม่นยำในการจัดจำแนกสูง รวมทั้งสามารถวิเคราะห์ความสัมพันธ์ในเชิงวิถุทัณฑ์ของเชื้อรา ที่ศึกษาได้เพิ่มเติมด้วย ขั้นตอนที่กับวิธีการและระดับทางชีวโมเลกุลที่เลือกใช้ในการจัดจำแนก ทั้งนี้คณานักวิจัยได้ทำการจัดจำแนกในขั้นตอนด้วยสายพันธุกรรม 18S rDNA ของเชื้อราเมตาไโรเชี่ยม PB-75 ซึ่งได้คัดแยกจากดินในพื้นที่ป่าจังหวัดเพชรบูรณ์ พบว่าเป็นเชื้อรา *Metarhizium anisopliae* (Bunsak et al., 2023) ซึ่งสามารถใช้อ้างอิงและเป็นแนวทางในการจัดจำแนกเชื้อราเมตาไโรเชี่ยมครั้นนี้ได้ ในการวิจัยนี้ มีจุดมุ่งหมายเพื่อจัดจำแนกชนิดของเชื้อราเมตาไโรเชี่ยมที่คัดแยกจากตัวอย่างดินป่าของจังหวัดเพชรบูรณ์ที่มีศักยภาพในการควบคุมเพลี้ยกระโดด สิ่น้ำต่ำได้จำนวน 15 ไอโซเลตเพิ่มเติม โดยใช้ลักษณะทางสัณฐานวิทยาของโคลนีและโคนิเดีย

ของเชื้อรา และด้วยวิธีการทางชีวโมเลกุลโดยการเปรียบเทียบลำดับรหัสสารพันธุกรรมของชิ้นส่วนสารพันธุกรรม ITS ของ 18S rDNA ของเชื้อราที่พบกับข้อมูลในฐานข้อมูลของ GenBank และวิเคราะห์ความสัมพันธ์เชิงวิถุทัณฑ์ การ เพื่อเป็นข้อมูลอ้างอิง และคัดเลือกเชื้อราดังกล่าวสำหรับใช้ประโยชน์ต่อไปในอนาคต

อุปกรณ์และวิธีการ

เพาะเลี้ยงเชื้อราเมตาไโรเชี่ยม ไอโซเลตคัดแยกได้จากตัวอย่างดินป่า จังหวัดเพชรบูรณ์ และผ่านการคัดเลือกด้วยคุณสมบัติที่สามารถจะนำเพลี้ยกระโดดสิน้ำต่ำได้ร้อยละ 100 ในช่วงระยะเวลาที่สั้นที่สุด จำนวน 15 ไอโซเลต คือ PB-01, PB-02, PB-10, PB-19, PB-28, PB-47, PB-51, PB-71, PB-76, PB-95, PB-101, PB-114, PB-117, PB-123 และ PB-125 ด้วยอาหารเลี้ยงเชื้อ potato dextrose agar (PDA) ที่ระดับอุณหภูมิ 25 องศาเซลเซียลนาน 7 วัน ตรวจสอบลักษณะทางสัณฐานวิทยาของโคลนี (รูปร่างและสีของโคลนี) และโคนิเดีย (ขนาดด้านกว้างและด้านยาวรวมทั้งรูปร่างของโคนิเดีย) (Tulloch, 1976) บันทึกผล วิเคราะห์ความสัมพันธ์ด้วย cluster analysis และสร้างรูปแบบความสัมพันธ์ด้วย dendrogram โดยมีข้อมูลสัณฐานวิทยาของ *Metarhizium anisopliae* ไอโซเลต PB-75 ซึ่งได้รับการจัดจำแนกแล้ว (Bunsak et al., 2023) ร่วมกับเชื้อรา *Metarhizium anisopliae* (Bridge et al., 1993), *Metarhizium album* (Anderson and Trueman, 2000; Driver et al., 2000), *Metarhizium majus* (Anderson and Trueman, 2000; Bischoff et al., 2009; Nishi et al., 2011) และ *Metarhizium granulomatis* (Schmidt et al., 2017) สำหรับอ้างอิงเปรียบเทียบ

จากนั้นสกัดสารพันธุกรรมจากเชื้อราเมตาไโรเชี่ยมทุกไอโซเลต เพิ่มจำนวนชิ้นส่วนสายพันธุกรรมของ ITS จาก 18S ribosomal DNA ด้วยปฏิกิริยาลูกอิโซเอดรีเมอเรส และลดรหัสพันธุกรรมด้วยไฟร์เมอร์ ITS1 (forward: TCCGTAGGT-GAACCTGCGG) และ ITS4 (reverse: TCCTC-CGCTTATTGATATGC) (White et al., 1990) โดย

บริษัท Macrogen Inc. Laboratory, IT and Business Headquarter & Support Center Geumcheon-gu, Seoul, Korea

ทำการปรับลำดับรหัสสารพันธุกรรมของ 18S rDNA ที่ได้รับกับสัญญาณการอ่านผลรหัสสารพันธุกรรมด้วยโปรแกรม BioEdit version 7.2 (<http://www.mbio.ncsu.edu/bioedit/bioedit.html>) (Hall, 1999) เทียบเคียงสารพันธุกรรมของยีน 18S rDNA ของเชื้อราเมตาไรเซียมที่ผ่านการคัดเลือกแต่ละไอโซเลต กับข้อมูลใน GenBank จาก the National Center for Biotechnology Information (<http://www.ncbi.nlm.nih.gov/blast>) ด้วยโปรแกรม BLAST (Altschul et al., 1990) ตรวจสอบผลการเปรียบเทียบและประเมินค่าความเหมือน (similarity index) และจัดจำแนกชนิดของเชื้อราเมตาไรเซียมแต่ละไอโซเลต คัดเลือกไอโซเลตของเชื้อราเมตาไรเซียมที่มีความใกล้ชิดจากฐานข้อมูลของ GenBank บันทึกข้อมูลรหัสสารพันธุกรรมของยีน 18S rDNA และข้อมูลเปรียบเทียบอื่นๆ ทำการเทียบเรียง (alignment) ลำดับรหัสสารพันธุกรรมของเชื้อราเมตาไรเซียมที่ได้จากฐานข้อมูลใน GenBank และที่ได้จากการคัดเลือก ด้วยโปรแกรม BioEdit v.7.2 (Hall, 1999) และ Clastal W (Thompson et al., 1997) ทำการวิเคราะห์ความสัมพันธ์เชิงวิวัฒนาการของลำดับรหัสสารพันธุกรรมของเชื้อราเมตาไรเซียมที่ได้เทียบเรียง โดย phylogenetic analysis ด้วยวิธีการวิเคราะห์ทางสถิติแบบ neighbor-joining (Saitou and Nei, 1987) คำนวณสายสัมพันธ์ทางวิวัฒนาการโดยวิธี P-distance (Nei and Kumar, 2000) และคำนวณความค่าความเชื่อมั่นของความสัมพันธ์ในแต่ละระดับด้วยวิธีการ bootstrap จำนวน 1000

ครั้ง (Felsenstein, 1985) ด้วยโปรแกรม MEGA 11 (<http://www.megasoftware.net/>) (Hall, 2013; Tamura et al., 2021) เปรียบเทียบผลการวิเคราะห์ความสัมพันธ์และค้นหาเชื้อราเมตาไรเซียมที่มีความใกล้เคียง และเทียบเคียงข้อมูลคุณลักษณะกับเชื้อราเมตาไรเซียมที่มีความใกล้ชิดมากที่สุด

ผลการทดลองและวิจารณ์

ข้อมูลของลักษณะทางสัณฐานวิทยาของเชื้อรา *M. anisopliae* เช่น สีของโคลนี รูปทรงและขนาดความกว้างและความยาวของโคนนิเดียสามารถใช้จัดจำแนกกลุ่มของไอโซเลตเชื้อราเมตาไรเซียมได้ (Luangsa-ard et al., 2007, 2009; Dugan, 2017) โดยเฉพาะอย่างยิ่งในส่วนความยาวของโคนนิเดียของ *M. anisopliae* (Driver et al., 2000; Bischoff et al., 2009) โดย Rombach et al. (1987) ระบุว่าโคนนิเดียของ *M. anisopliae* ควรมีความยาวที่น้อยกว่า 9 ไมโครเมตร จากการศึกษาลักษณะทางสัณฐานวิทยาของเชื้อราเมตาไรเซียมทั้ง 15 ไอโซเลตที่ผ่านการคัดเลือกจากคุณสมบัติการก่อโรคโดยสามารถทำให้เพลี้ยกระโดดสีน้ำตาลตายร้อยละ 100 และมีระดับความรุนแรงของการก่อโรคที่ LT_{50} อุ่นในช่วง 2.9-4.2 วัน พบร้า โคลนีของเชื้อราเมตาไรเซียมทุกไอโซเลตมีลักษณะกลม สีเขียวขี้ม้าเข้มหรือเขียวโคลีฟขอบโคลนีมีเส้นขาว ส่วนโคนนิเดียเป็นรูปทรงกรวยออกปลายมน คล้ายแคปซูล ขนาดของความยาว อุ่นในช่วง 5.0-8.9 ไมโครเมตร และความกว้างอุ่นในช่วง 2.0-4.6 ไมโครเมตร และมีแนวโน้มของการจัดจำแนกเป็นเชื้อรา *M. anisopliae* (Rombach et al., 1987; Tangthirasunun et al., 2010; Thaochan and Sausa-ard, 2017) (Table 1)

Table 1 Morphology of colonies and conidia of 15 *Metarhizium* isolates, screened and selected based on their highly potential to kill brown planthopper and those of *Metarhizium anisopliae*, *M. album*, *M. majus* and *M. granulomatis* were added for cluster analysis.

Isolates	Colony morphology		Conidia morphology		LT_{50} (days)
	Shape	Color	Size (length x width) (μm)	Shape	
PB-01	circle	dark green	5.7(5.3-7.1) x 3.1(2.5-4.0)	cylindrical	3.7
PB-02	circle	dark green	6.0(5.5-7.0) x 3.0(2.6-3.4)	cylindrical	3.1
PB-10	circle	dark green	5.5(5.0-6.9) x 4.0(3.6-4.5)	cylindrical	3.8

Table 1 (continued).

Isolates	Colony morphology		Conidia morphology		LT_{50} (days)
	Shape	Color	Size (length x width) (μm)	Shape	
PB-19	circle	olivaceous green	7.1(6.4-7.9) x 3.5(3.1-4.6)	cylindrical	3.7
PB-28	circle	olivaceous green	6.5(6.0-7.1) x 3.2(2.9-4.0)	cylindrical	3.2
PB-47	circle	dark green	7.0(6.5-8.9) x 4.3(4.0-4.5)	cylindrical	3.7
PB-51	circle	dark green	6.7(6.2-8.4) x 3.1(2.5-4.2)	cylindrical	4.0
PB-71	circle	dark green	5.6(5.0-6.1) x 3.0(2.4-3.9)	cylindrical	3.2
PB-76	circle	dark green	7.1(6.5-8.1) x 4.0(2.9-4.6)	cylindrical	3.5
PB-95	circle	olivaceous green	5.8(5.1-6.5) x 2.9(2.3-3.2)	cylindrical	3.9
PB-101	circle	dark green	6.7(6.3-7.1) x 3.1(2.7-4.1)	cylindrical	3.6
PB-114	circle	olivaceous green	6.4(5.5-6.7) x 2.8(2.0-3.9)	cylindrical	3.9
PB-117	circle	olivaceous green	5.8(5.0-7.1) x 2.7(2.0-3.2)	cylindrical	3.3
PB-123	circle	olivaceous green	6.5(5.8-7.5) x 2.2(2.4-2.6)	cylindrical	3.4
PB-125	circle	dark green	6.5(6.0-7.5) x 3.5(2.9-3.9)	cylindrical	4.2
PB-75 ¹	circle	olivaceous green	5.7(5.0-6.0) x 3.1(2.4-4.0)	cylindrical	2.9
<i>M. anisopliae</i> ²	circle	dark green	6.5(4.5-8.4) x 2.4(1.6-3.2)	cylindrical	
<i>M. granulomatis</i> ³	circle	brown-gray	3.6(3.3-3.8) x 1.4(1.2-1.6)	cval	
<i>M. majus</i> ⁴	circle	olivaceous green	11.8(8.4-15.1) x 3.6(2.4-4.7)	cylindrical	
<i>M. album</i> ⁵	circle	pale brown	5.0(4.0-6.0) x 2.0(1.5-2.5)	ellipsoid	

Sources: 1/ Bunsak et al., 2023; 2/ Bridge et al. (1993); 3/ Driver et al. (2000) and Anderson and Trueman (2000); 4/ Nishi et al. (2011), Bischoff et al., (2009); and Anderson and Trueman (2000); 5/ Schmidt et al. (2017)

เมื่อทำการวิเคราะห์ความสัมพันธ์และจัดกลุ่มทางสถิติ ด้วย hierarchical cluster analysis วิธี within group-linkage ระหว่างลักษณะทางสัณฐานวิทยาของเชื้อราเมตาไโรเชี่ยมทุกไโโชเลต เปรียบเทียบกับ *Metarhizium anisopliae* (PB-75), *M. anisopliae*, *M. album*, *M. majus* และ *M. granulomatis* พบร้า เชื้อราเมตาไโรเชี่ยมทุกไโโชเลตถูกจัดรวมเป็นกลุ่มขนาดใหญ่ร่วมกับ *M. anisopliae* (PB-75) และ *M. anisopliae* ข้างอิง และแยกตัวออกจาก *M. album*, *M. majus* และ *M. granulomatis* อย่างชัดเจนภายในการจัดกลุ่มถูกจัดแยกออกได้เป็น 2 กลุ่มคือ กลุ่มแรกประกอบด้วยไโโชเลต PB-51, PB-101, PB-125, PB-01, PB-71, PB-02, PB-10, PB-47 และ PB-76 ร่วมกับ *M. anisopliae* ข้างอิง กลุ่มที่สองประกอบด้วยไโโชเลต PB-95, PB-117, PB-28, PB-114, PB-123 และ PB-19

ร่วมกับ *M. anisopliae* (PB-75) ในกรณีนี้ทำให้เชื้อราเมตาไโรเชี่ยมทุกไโโชเลตในส่วนของ ingroup นี้มีแนวโน้มจัดเป็นเชื้อรา *M. anisopliae* ได้มากที่สุด (Figure 1) และเมื่อพิจารณาการจัดกลุ่มดังกล่าวพบ ข้อมูลทางสัณฐานวิทยาพบว่าเชื้อรา *M. anisopliae* ทั้ง 2 กลุ่ม ในเบื้องต้นจัดแยกออกจากกันด้วยลักษณะของสีคลื่น เป็นหลัก โดยกลุ่มที่ 1 มีสีคลื่นเขียวเข้มค่อนไปทางสีดำ (dark green) ส่วนกลุ่มที่ 2 มีสีคลื่นเขียวสว่าง (olivaceous green) (Table 1) อย่างไร ก็ตาม วิธีการจัดจำแนกทางสัณฐานวิทยาในการศึกษานี้ เน้นการใช้ลักษณะทางสัณฐานวิทยาของคลื่น (รูปปัจจุบันและสีของคลื่น) และโคนิดีย (ขนาดด้านกว้างและด้านยาวรวมทั้งรูปร่างของโคนิดีย) ตามแนวทางของ Tulloch (1976) ซึ่งมีความสะดวกเร็ว และมีค่าใช้จ่ายในการจัดจำแนกไม่สูงมาก แต่อย่างไรก็ตาม หากเป็นการจัดจำแนกที่ต้องการ

ความแม่นยำขัดเจนในระดับชนิด หรือจะเสียดกวาๆ ชนิด ความมีข้อมูลในรายละเอียดของสัณฐานวิทยา ชื่อ phialides (Mongkolsamrit et al., 2020) และข้อมูลจากผลการทดสอบทางจุลทรรศน์วิทยา พิชวิทยา และ ชีวเคมีอื่นๆ เช่น API ZYM และ

isoenzyme (Bridge et al., 1993) เพิ่มเติมประกอบการจัดจำแนกหรือใช้แนวทางการจัดจำแนกอื่น เช่น เทคนิคทางชีวเคมีเล็กๆ เป็นต้น เพื่อรองรับ สนับสนุน และยืนยันผลเพิ่มเติม

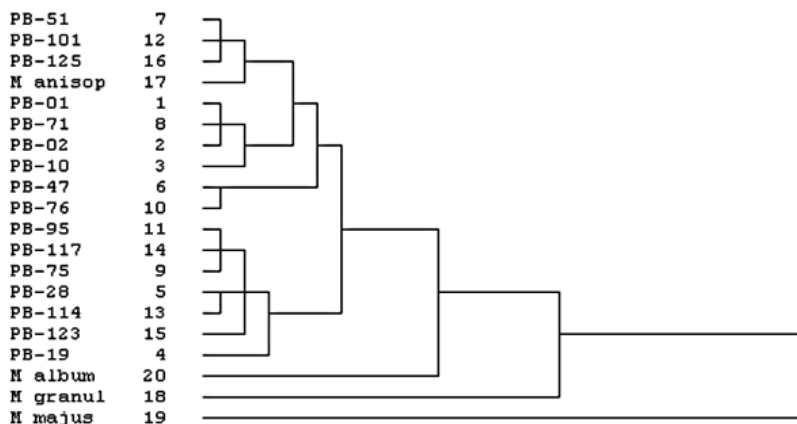


Figure 1 Dendrogram presents the relationship based on morphological data of colonies and conidia of the 16 highly potential *Metarhizium* isolates from Phetchabun province (PB) to control brown planthoppers. *Metarhizium anisopliae* (M anisop), *Metarhizium album* (M album), *Metarhizium majus* (M majus) and *Metarhizium granulomatis* (M granul) were added for cluster analysis.

ในปัจจุบันการจัดจำแนกชนิดของเชื้อรากด้วยเทคนิคทางชีวเคมีเล็กๆได้เข้ามามีบทบาทสำคัญมากขึ้น เนื่องจากมีช่องทางให้เลือกหลากหลาย มีความสะดวก รวดเร็วและแม่นยำ โดยเฉพาะอย่างยิ่ง การใช้รูปแบบการเรียงตัวของนิวคลีโอไทด์ในชิ้นส่วนสารพันธุกรรมของสิ่งมีชีวิตซึ่งสามารถให้รายละเอียดของการจัดจำแนกในระดับต่ำกว่าชนิดได้ ทั้งนี้ขึ้นอยู่กับชนิดและความพยายามของสายพันธุกรรมที่ใช้ในการเปรียบเทียบ (Dentinger et al., 2011; Raja et al., 2017) ในกรณีการจัดจำแนกเชื้อรากเมตาไรเซียมที่มีความเกี่ยวเนื่องกับสภาพแวดล้อมน้ำน มักนิยมใช้สายพันธุกรรม 18S rDNA เนื่องจากสายพันธุกรรมประกอบด้วยส่วนที่มีการเปลี่ยนแปลงในระดับที่รวดเร็ว ข้ามๆกัน หรือไม่เปลี่ยนแปลง ทำให้สามารถใช้จัดจำแนกสิ่งมีชีวิตได้ทั้งในระดับที่ต่ำกว่าหรือสูงกว่าระดับชนิดได้ (Epp et al., 2012; Suzuki et al., 2020; Bich et al., 2021) นอกจากนี้ยังมีปัจจัยและรายงานในส่วนนี้ของเชื้อรากเมตาไรเซียมเป็นจำนวนมาก

ในฐานข้อมูล GenBank ซึ่งสะท้อนถึงการเปรียบเทียบและค้นหาชนิดของเชื้อรากเมตาไรเซียมได้อย่างรวดเร็ว (Nilsson et al., 2012)

ด้วยไฟร์โนมอร์ ITS1F (forward: TCCGTAG-GTGAACCTGCGG) และ ITS4 (reverse: TCCTC-CGCTTATTGATATGC) (White et al., 1990) ชิ้นส่วนสารพันธุกรรม 18S rDNA ที่ได้รับสำหรับใช้ในการตรวจสอบชนิดของเชื้อรากเมตาไรเซียมที่ผ่านการคัดเลือก ครอบคลุมบางส่วนของ 18S ribosomal RNA gene ต่อเนื่องกับ internal transcribed spacer 1, 5.8S ribosomal RNA gene, internal transcribed spacer 2 และ ยาวต่อเนื่องครอบคลุมบางส่วนของ 28S ribosomal RNA gene จำนวนนิวคลีโอไทด์ทั้งหมดที่อ่านได้อยู่ที่ประมาณ 600-620 bp แต่มีการทำการเทียบเรียง (alignment) ลำดับรหัสสารพันธุกรรม จำนวนนิวคลีโอไทด์ทั้งหมดที่ขัดเจนและสามารถใช้ในการศึกษาครั้งนี้อยู่ที่ 527 หน่วย

ผลการเทียบเคียงลำดับการเรียงตัวของนิวคลีอิคไซด์ของ 18S rDNA ของเชื้อรามetea ไวรเชียมทั้ง 15 ไอโซเลตกับข้อมูลในฐานข้อมูลของ GenBank ด้วยโปรแกรม BLAST พบร่วมเชื้อรามetea ไวรเชียมทั้ง 15 ไอโซเลต มีลำดับสารพันธุกรรมตรงกับเชื้อรามetea ไวรเชียมชนิด *Metarhizium anisopliae* (Eukaryota; Fungi; Dikarya; Ascomycota; Pezizomycotina; Sordariomycetes; Hypocreomycetidae; Hypocreales; Clavicipitaceae; Metarhizium) โดยมีสัดส่วนความเหมือนตรงกันระหว่าง 99% ทั้งนี้โดยหลักการของสัดส่วนความเหมือนตรงกันระหว่าง หากมีค่าที่ร้อยละ 100 สิ่งมีชีวิตนั้นจัดอยู่ในสายพันธุ์ (strain) เดียวกัน หากมีค่าสูงกว่าร้อยละ 99 จัดได้ว่าเป็นชนิดเดียวกัน และหากอยู่ในช่วงร้อยละ 89-99 จัดเป็นสกุล (genus) เดียวกัน (Henry *et al.*, 2000) ดังนั้น เชื้อรามetea ไวรเชียมทั้ง 15 ไอโซเลตในการศึกษานี้จึงมีแนวโน้มจัดเป็นชนิด *Metarhizium anisopliae*

ผลการวิเคราะห์และสร้างสายสัมพันธ์ทางวิวัฒนาการจากสายพันธุกรรม 18S rDNA ของเชื้อรา *M. anisopliae* ทั้ง 15 ไอโซเลต ร่วมกับสายพันธุกรรม 18S rDNA ของเชื้อรา *M. anisopliae* ไอโซเลต PB-75 และเชื้อรา *M. anisopliae* ที่มีความใกล้ชิดจากข้อมูล GenBank จำนวน 15 สายพันธุ์ โดยมีสายพันธุกรรม 18S rDNA ของเชื้อรา *Metarhizium frigidum* HM055448.1 และ *Metarhizium minus* HM055453.1 เป็น outgroups เปรียบเทียบ พบว่าสายสัมพันธ์ทางวิวัฒนาการที่สร้างขึ้นนั้นได้จัดกลุ่มของไอโซเลตเชื้อรามetea ไวรเชียมที่ต้องการจัดจำแนก เชื้อราไอโซเลต PB-75 และเชื้อรา *M. anisopliae* ที่ใกล้ชิดซึ่งได้จาก GenBank แยกออกจาก เชื้อรา *M. frigidum* HM055448.1 and *M. minus* HM055453.1 อย่างชัดเจนด้วยค่า bootstrap รองรับร้อยละ 100 นั้น โดยในกลุ่มของเชื้อรามetea ไวรเชียม (ingroup) นั้นได้วิวัฒนาการ

แยกออกเป็น 3 กลุ่ม กลุ่มแรก ใช้ชื่อต่อจาก outgroups ประกอบด้วย *M. anisopliae* MG786741.1 ซึ่งมีความใกล้ชิดกับ *M. anisopliae* ไอโซเลต PB-76 (H201204-007 O01) จากนั้นสายวิวัฒนาการได้แยกตัวและแบ่งกลุ่มเชื้อรา *M. anisopliae* ออกเป็น 2 กลุ่ม กลุ่มที่ 1 มีค่า bootstrap รองรับที่ร้อยละ 40 ประกอบด้วย *M. anisopliae* MH165400.1, KU983776.1, OP546104.1, LR792758.1, JN256674.1, MT111550.1, MN892390.1, OL839175.1, MG786733.1 และ MG786736.1 โดยมีเชื้อรามetea ไวรเชียมที่มีรายงานการพบในประเทศไทยคือ OP546104.1 (Sinchayakul *et al.*, 2022) และไอโซเลต PB-47 รวมอยู่ในกลุ่มนี้ โดยไอโซเลต PB-47 ได้ถูกจัดรวมเป็นกลุ่มอย่างขนาดเล็กที่มีความใกล้ชิดกับ *M. anisopliae* OL839175.1, MG786733.1 และ MG786736.1 กลุ่มที่ 2 มีค่า bootstrap รองรับที่ 40% ประกอบด้วย *M. anisopliae* OP595354.1, KX279869.1, JQ889704.1 ร่วมกับเชื้อรามetea ไวรเชียมไอโซเลต PB-125 (H201204-007 C09), PB-71 (H201204-007 G01), PB-19 (H201204-007 G15), PB-10 (H201204-007 K13), PB-02 (H201204-007 K09), PB-101 (H201204-007 O03), PB-01 (H201204-007 G09), PB-51 (H201204-007 K17), PB-117 (H201204-007 C07), PB-28 (H201204-007 K15), PB-95 (H201204-007 G03), PB-114 (H201204-007 K05), PB-123 (H201204-007 O07) และ PB-75 (ON729286.1) และมีการรวมกลุ่มอย่างขนาดเล็กของ เชื้อรามetea ไวรเชียมไอโซเลต PB-101 (H201204-007 O03), PB-01 (H201204-007 G09), PB-51 (H201204-007 K17), PB-117 (H201204-007 C07) ร่วมกับ *M. anisopliae* PB75 (ON729286.1) (Bunsak *et al.*, 2023), JQ889704.1 และ KX279869.1 (Figure 2)

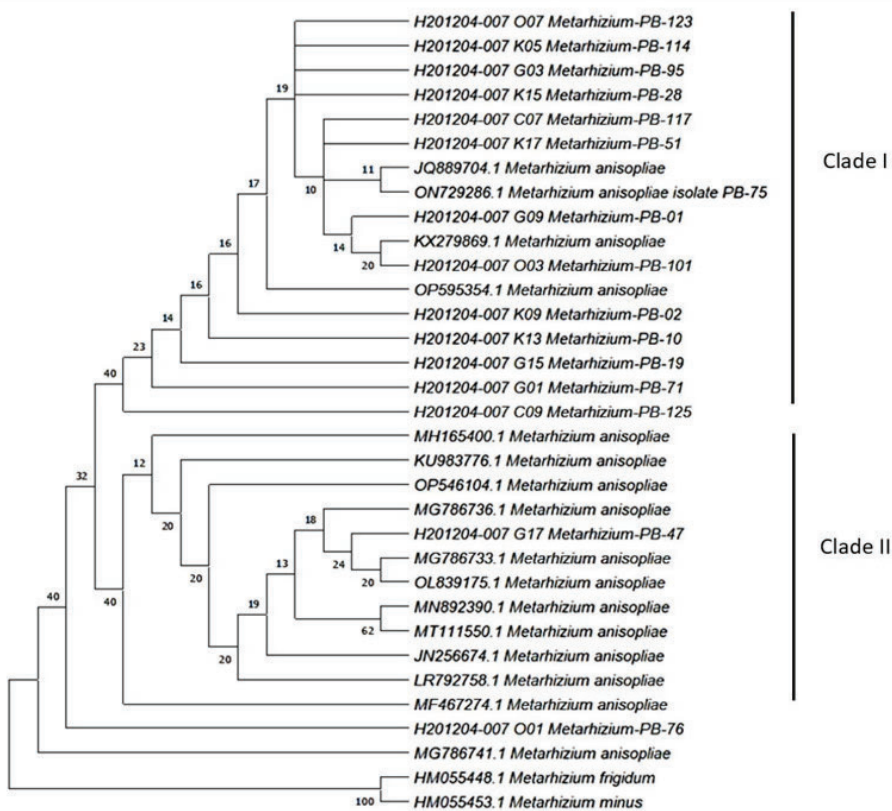


Figure 2 Phylogenetic tree (evolutionary relationships of taxa) obtained by neighbor-joining method with evolutionary distance calculated by P-distance based on the alignment of 18S rDNA of 15 *Metarhizium* isolates and other 16 closely related *M. anisopliae* and 2 outgroup species *M. frigidum* HM055448.1 and *M. minus* HM055453.1 The confidence supporting number on tree branch calculated from bootstraps method with 1000 replications.

ทั้งนี้ กลุ่มของเชื้อราไอโซเลตที่มีความใกล้ชิดกับเชื้อรา *M. anisopliae* ที่ข้างต้น พบว่า ไอโซเลต PB-117, PB-51, PB-01 และ PB-101 มีการรวมกลุ่มใกล้ชิดกับเชื้อรา *M. anisopliae* PB-75, JQ889704.1 (Xu et al., 2012) และ KX279869.1 (Syazwan et al., 2015) มาก โดยเชื้อรา *M. anisopliae* ไอโซเลต PB-75 เป็นเชื้อราที่ลงทำลายเพลี้ยกรวยโดยสิ้นเชิง ที่คัดแยกจากจังหวัด เพชรบูรณ์ เช่นกัน (Bunsak et al., 2023) ในขณะที่ *M. anisopliae* KX279869.1 ซึ่งเป็นเชื้อ *M. anisopliae* ที่มีข้อมูลจากฐานข้อมูลใน GenBank ระบุว่า ถูกคัดแยกได้จาก Peninsular Malaysia และมีศักยภาพในการลงทำลายปลวก *Coptotermes curvignathus* (Blattodea:

Rhinotermitidae) (Syazwan et al., 2015) ส่วน *M. anisopliae* JQ889704.1 นั้น Xu et al. (2012) ระบุว่าคัดแยกได้จากป่าชายเลนของมณฑลไหหนาน ของสาธารณรัฐประชาชนจีน และบันทึกข้อมูลลำดับรหัสทางพันธุกรรม 18S rDNA ไว้ในฐานข้อมูลของ GenBank แต่ยังไม่พบรายละเอียดของศักยภาพในการลงทำลายแมลงที่ชัดเจน

ในขณะที่ไอโซเลต PB-47 รวมเป็นกลุ่มอยู่ที่มีความใกล้ชิดกับ *M. anisopliae* OL839175.1, MG786733.1 และ MG786736.1 นั้นพบว่า OL839175.1 เป็นเชื้อ *M. anisopliae* ที่ Nawaz (2021) จาก Center of Excellence for Olive Research and Training, Barani Agricultural Research Institute, Chakwal, Punjab, Pakistan

เป็นผู้รายงานการค้นพบส่วน MG786733.1 และ MG786736.1 เป็นเชื้อ *M. anisopliae* ที่ Castro-Vasquez et al. (2018) จาก Centro de investigacion en biología celular molecular, University of Costa Rica, Ciudad de la investigacion, San Pedro, San Jose, Costa Rica ระบุว่าคัดแยกได้จากดินใน Costa Rica ซึ่งเชื้อรากทั้ง 3 ไอโซเลตนี้ได้บันทึกไว้ในฐานข้อมูลของ GenBank แต่ยังไม่พบรายละเอียดของศักยภาพในการลงทำลายแมลงที่ชัดเจน และในทำนองเดียวกันกับไอโซเลต PB-76 ที่มีความใกล้ชิดกับ *M. anisopliae* MG786741.1 ซึ่งเป็นเชื้อ *M. anisopliae* คัดแยกได้จากดินใน Costa Rica ที่ Castro-Vasquez et al. (2018) ได้บันทึกไว้เช่นกัน

สรุป

ในการจัดจำแนกและวิเคราะห์ความสมพันธ์ เชิงวิถีทางการทางชีวโมเลกุล ของเชื้อรากเมتاไทรีเชิญ คัดแยกจากดินป่าในจังหวัดเพชรบูรณ์ ที่มีศักยภาพ ก่อโรคกับเพลี้ยกระโดดสีน้ำตาลโดยทำให้เพลี้ยกระโดดสีน้ำตาลตายร้อยละ 100 และมีค่าความรุนแรงของเชื้อ (LT_{50}) ที่ 2.9-4.2 วัน จำนวน 15 ไอโซเลต ประกอบด้วยไอโซเลต PB-01, PB-02, PB-10, PB-19, PB-28, PB-47, PB-51, PB-71, PB-76, PB-95, PB-101, PB-114, PB-117, PB-123 และ PB-125 ผลการจัดกลุ่มโดยอาศัยลักษณะทางสัณฐานวิทยาพบว่าเชื้อรากทุกไอโซเลตมีความพยายามของ โคนิเดียน้อยกว่า 9 ไมโครเมตร และสามารถจัดเป็น เชื้อรากนิด *M. anisopliae* เมื่อวิเคราะห์ด้วย cluster analysis พบร่วม เชื้อรากเมتاไทรีเชิญทุกไอโซเลต ถูกจัดรวมเป็นกลุ่มขนาดใหญ่ร่วมกับ *M. anisopliae* (PB-75) และ *M. anisopliae* อ้างอิง และแยกตัวออกจาก *M. album*, *M. majus* และ *M. granulomatis* อย่างชัดเจน มีแนวโน้มจัดเป็น เชื้อราก *M. anisopliae* ทั้งหมด ในส่วนของการจัดจำแนกทางชีวโมเลกุลด้วย สายพันธุกรรม 18S rDNA ของเชื้อรากเมتاไทรีเชิญทั้ง 15 ไอโซเลต เปรียบเทียบกับเชื้อรากเมتاไทรีเชิญในฐานข้อมูลของ GenBank พบร่วมมีความใกล้ชิดกับเชื้อราก

เมتاไทรีเชิญชนิด *M. anisopliae* (Eukaryota; Fungi; Dikarya; Ascomycota; Pezizomycotina; Sordariomycetes; Hypocreomycetidae; Hypocreales; Clavicipitaceae; Metarhizium) PB-117, PB-51, PB-01 และ PB-101 มีการรวมกลุ่มใกล้ชิดกับเชื้อราก *M. anisopliae* ไอโซเลต โดยมีความเหมือนตรงกัน (percent identical) กับเชื้อรากที่มีรายงานการค้นพบ ในระดับที่สูงกว่าร้อยละ 99.00 และผลการวิเคราะห์ความสมพันธ์เชิงวิถีทางการพบร่วมทั้ง 15 ไอโซเลต จัดอยู่ในกลุ่ม *M. anisopliae* แยกออกจาก群ที่ใกล้ชิดคือ *M. frigidum* และ *M. minus* อย่างชัดเจน โดยในส่วนของกลุ่มเมتاไทรีเชิญนั้น พบร่วม ไอโซเลต PB-117, PB-51, PB-01 และ PB-101 มีการรวมกลุ่มใกล้ชิดกับเชื้อราก *M. anisopliae* ไอโซเลต PB-75, JQ889704.1 และ KX279869.1 มาก ไอโซเลต PB-47 รวมเป็นกลุ่มอยู่ที่มีความใกล้ชิดกับ *M. anisopliae* OL839175.1, MG786733.1 และ MG786736.1 และ ไอโซเลต PB-76 นั้นมีความใกล้ชิดกับ *M. anisopliae* MG786741.1 ทั้งนี้มีเพียง *M. anisopliae* ไอโซเลต PB-75 และ *M. anisopliae* KX279869.1 ที่พบร่องรอยความเกี่ยวพันกับการลงทำลายเพลี้ยกระโดดสีน้ำตาลและปลวก *Coptotermes curvignathus* ตามลำดับ

เอกสารอ้างอิง

- วีรบุญ สร้อยนาค วีรเทพ พงษ์ประเสริฐ ไสวบูรณพานิชพันธุ์ และสมชาย ชนสินชัยกุล. 2556. ประสีทวิภาคของสารฆ่าแมลงบางชนิดต่อเพลี้ยกระโดดสีน้ำตาลในภาคเหนือตอนล่างของประเทศไทย. วารสารเกษตร 29(3): 231-238.
- สุวัฒน์ รายอารีย์. 2544. เรียนรู้การจัดการศัตรูข้าวโดยผสมผสาน. กองกีฏและสัตววิทยา: กรมวิชาการเกษตร, กรุงเทพฯ. 262 หน้า.
- สำนวน จิมพก และวีรเทพ พงษ์ประเสริฐ. 2548. ปัจจัยที่มีผลต่อการใช้สารเคมีป้องกันกำจัดศัตรูข้าวของเกษตรกร อำเภอตะพานหิน จังหวัดพิจิตร. วารสารเกษตรวนเรศวร 8(1): 77-94.

- อราญา บุญศักดิ์, วีรเทพ พงษ์ประเสริฐ ไสว
นูรุณพานิชพันธุ์ และจิราพร กุลสาริน. 2558.
การคัดเลือกเชื้อรา *Metarhizium anisopliae*
(Metchnikoff) Sorokin ที่มีศักยภาพใน
การควบคุมเพลี้ยกระโดดสีน้ำตาล. วารสาร
เกษตร 31(3): 291-299.
- อราญา บุญศักดิ์, วีรเทพ พงษ์ประเสริฐ
และสุพรรณิกา อินตีระนันท์. 2564. การ
คัดแยกและคัดเลือกเชื้อรากลุ่เมฆาໄใจเชี่ยม
จากดินป่าในพื้นที่อำเภอเข้าค้อ จังหวัด
เพชรบูรณ์เพื่อควบคุมเพลี้ยกระโดดสี
น้ำตาล. หน้า 716-728. ใน: การประชุม
วิชาการนเศวรวิจัยและนวัตกรรม ครั้งที่ 17.
มหาวิทยาลัยนเรศวร, พิษณุโลก.
- Altschul, S.F., W. Gish, W. Miller, E.W. Myers
and D.J. Lipman. 1990. Basic local
alignment search tool. Journal of
Molecular Biology 215(3): 403-410.
- Anderson, D.L. and J. W.H. Trueman. 2000.
Varroa jacobsoni (Acari: Varroidae) is
more than one species. Experimental
and Applied Acarology 24(3): 165–189.
- Bich, G.A., M.L. Castrillo, F.L. Kramer, L.L. Villalba
and P.D. Zapata. 2021. Morphological
and molecular identification of
entomopathogenic fungi from
agricultural and forestry crops.
Florestae Ambiente 28(2), doi:10.
1590/2179-8087-floram-2018-0086.
- Bischoff, J.F., S.A. Rehner and R.A. Humber.
2009. A multilocus phylogeny of the
Metarhizium anisopliae lineage.
Mycologia 101(4): 512-530.
- Bridge, P.D., M.A.J. Williams, C. Prior and
R.R.M. Paterson. 1993. Morphological,
biochemical and molecular
characteristics of *Metarhizium*
anisopliae and *M. flavoviride*. Journal
of General Microbiology 139: 1163-1169.
- Bunsak, A., W. Homhaul, W. Pongprasert, K.
Ruangrit and S. Intanon. 2023.
Occurrence of entomopathogenic
fungi from natural ecosystems in
Phetchabun, Thailand and their
virulence against brown planthopper.
Current Applied Science and
Technology 23(4); DOI: 10.55003/
cast.2023.04.23.013
- Castro-Vasquez, R., M. Montero-Astua, S.
Hernandez-Villalobos, A. Vargas-
Martinez and R. Molina-Bravo. 2018.
Identification and molecular
characterization of *Metarhizium* spp.
from soil of Costa Rica. (Online):
Available Source: [https://www.ncbi.nlm.nih.gov/nucleotide/MG786733.1?report=genbank&log\\$=nucltop&blast_rank=1&RID=ZY3UJ2KR013](https://www.ncbi.nlm.nih.gov/nucleotide/MG786733.1?report=genbank&log$=nucltop&blast_rank=1&RID=ZY3UJ2KR013) (January
30, 2023)
- Chen, W.-H., Y.-F. Han, J.-D. Liang and Z.-Q.
Liang. 2019. Morphological and
phylogenetic characterization of novel
Metarhizium species in Guizhou,
China. Phytotaxa 419(2): 189-196.
- Chinniah, C., A. Ravikumar, M. Kalyanasundaram
and P. Parthiban. 2016. Management
of sucking pests, by integration of
organic sources of amendments and
foliar application of entomopathogenic
fungi on chilli. Journal of Biopesticide
9(1): 34-40.
- Dentingier, B.T.M., M.Y. Didukh and J.-M.
Moncalvo. 2011. Comparing COI and
ITS as DNA barcode markers for
mushrooms and allies (*Agaricomycotina*).
PLoS ONE 6(9): e25081, doi:10.1371/
journal.pone.0025081.

- Driver, F., R.J. Millner and J.W.H. Trueman. 2000. A taxonomic revision of *Metarhizium* based on a phylogenetic analysis of rDNA sequence data. *Mycological Research* 104(2): 134-150. doi:10.1017/S0953756299001756.
- Dugan, F.M. 2017. *The Identification of Fungi: An Illustrated Introduction with Keys, Glossary, and Guide to Literature*. The American Phytopathological Society Press. St. Paul, Minnesota. 176 p.
- Epp, L.S., S. Boessenkool, E.P. Bellemain, J. Haile, A. Esposito, T. Riaz, C. Erséus, V.I. Gusalov, M.E. Edwards, A. Johnsen, H.K. Stenøien, K. Hassel, H. Kauserud, N.G. Yoccoz, K.A. Bråthen, E. Willerslev, P. Taberlet, E. Coissac and C. Brochmann. 2012. New environmental metabarcodes for analysing soil DNA: potential for studying past and present ecosystems. *Molecular Ecology* 21(8): 1821-1833.
- Felsenstein, J., 1985. Confidence limits on phylogenies: An approach using the bootstrap. *Evolution* 39(4): 783-791.
- Hall, B.G. 2013. Building phylogenetic trees from molecular data with MEGA. *Molecular Biology and Evolution* 30(5): 1229-1235.
- Hall, T.A. 1999. BioEdit: a user-friendly biological sequence alignment editor and analysis program for Windows 95/98/NT. *Nucleic Acids Symposium Series* 41: 95-98.
- Helina, S., S. Sulandari, S. Hartono and Y.A. Trisyono. 2019. Detection and analysis of protein profile on stunt virus-infected rice plant with different severity level on Ciherang and Situ Bagendit varieties.
- Journal Perlindungan Tanaman Indonesia 23(1): 116-124.
- Henry, T., P.C. Iwen and S.H. Hinrichs. 2000. Identification of *Aspergillus* species using internal transcribed spacer regions 1 and 2. *Journal of Clinical Microbiology* 38(4): 1510-1515
- Hibbett, D.S. and J.W. Taylor. 2013. Fungal systematics: is a new age of enlightenment at hand?. *Nature Reviews Microbiology* 11(2): 129-133.
- Latch, G.C.M. 1965. *Metarrhizium anisopliae* (Metschnikoff) Sorokin strains in New Zealand and their possible use for controlling pasture-inhabiting insects. *New Zealand Journal of Agricultural Research* 8(2): 384-396.
- Luangsa-ard, J., K. Tasanathai, S. Mongkolsamrit and N. Hywel-Jones. 2007. *Atlas of Invertebrate-Pathogenic Fungi of Thailand*, Volume. 1. National Science and Technology Development Agency, Pathum Thani. 82 p.
- Luangsa-ard, J.J., K. Tasanathai, S. Mongkolsamrit and N. Hywel-Jones. 2009. *Atlas of Invertebrate-Pathogenic Fungi of Thailand*, Volume. 2. Bangkok, Thailand: National Science and Technology Development Agency, Pathum Thani. 88 p.
- Mongkolsamrit, S., A. Khonsanit, D. Thanakitpipattana, K. Tasanathai, W. Noisripoon, S. Lamlerthon, W. Himaman, J. Houbraken, R.A. Samson and J. Luangsa-ard. 2020. Revisiting *Metarhizium* and the description of new species from Thailand. *Studies in Mycology* 95: 171–251.

- Nawaz, H. 2021. *Metarhizium anisopliae* strain Ma01 small subunit ribosomal RNA gene, partial sequence; internal transcribed spacer 1, 5.8S ribosomal RNA gene, and internal transcribed spacer 2, complete sequence; and large subunit ribosomal RNA gene, partial sequence. (Online): Available Source: [https://www.ncbi.nlm.nih.gov/nucleotide/OL839175.1?report=genbank&log\\$=nucltop&blast_rank=2&RID=ZY2XZXTPO1R](https://www.ncbi.nlm.nih.gov/nucleotide/OL839175.1?report=genbank&log$=nucltop&blast_rank=2&RID=ZY2XZXTPO1R) (January 30, 2023).
- Nei, M. and Kumar, S., 2000. Molecular Evolution and Phylogenetics. Oxford: Oxford University Press. 348 p.
- Nilsson, R.H., L. Tedersoo, K. Abarenkov, M. Ryberg, E. Kristiansson, M. Hartmann, C.L. Schoch, J.A.A. Nylander, J. Bergsten, T.M. Porter, A. Jumpponen, P. Vaishampayan, O. Ovaskainen, N. Hallenberg, J. Bengtsson-Palme, K.M. Eriksson, K.-H. Larsson, E. Larsson and U. Koljalg. 2012. Five simple guidelines for establishing basic authenticity and reliability of newly generated fungal ITS sequences. MycoKeys 4: 37-63.
- Nishi, O., K. Hasegawa, K. Iiyama, C. Yasunaga-Aoki and S. Shimizu. 2011. Phylogenetic analysis of *Metarhizium* spp. isolated from soil in Japan. Applied Entomology and Zoology 46(3): 301-309.
- Petch, T. 1931. Notes on entomogenous fungi. Transactions of the British Mycological Society 16(1): 55-75.
- Petch, T. 1935. Notes on entomogenous fungi. Transactions of the British Mycological Society 19(3): 161-194.
- Raja, H.A., A.N. Miller, C.J. Pearce and N.H. Oberlies. 2017. Fungal identification using molecular tools: A primer for the natural products research community. Journal of Natural Products 80(3): 756-770.
- Rombach, M.C., R.A. Humber and H.C. Evans. 1987. *Metarhizium album*, a fungal pathogen of leaf-and planthoppers of rice. Transactions of the British Mycological Society 88(4): 451-459.
- Saitou, N. and M. Nei. 1987. The neighbor-joining method: a new method for reconstructing phylogenetic trees. Molecular Biology and Evolution 4(4): 406-425.
- Savary, S., F. Horgan, L. Willocquet and K.L. Heong. 2012. A review of principles for sustainable pest management in rice. Crop Protection 32: 54-63.
- Schmidt, V., L. Klasen, J. Schneider, J. Hübel and M. Pees. 2017. Fungal dermatitis, glossitis and disseminated visceral mycosis caused by different *Metarhizium granulomatis* genotypes in veiled chameleons (*Chamaeleo calyptratus*) and first isolation in healthy lizards. Veterinary Microbiology 207: 74-82.
- Sinchayakul, P., W. Pongprasert, R. Masmeatathip, W. Sorapongpaisal, W. Homhaul and P. Thepkusol. 2022. Development of *Metarhizium* fungi for controlling insect pests in organic farming system. (Online): Available Source: [https://www.ncbi.nlm.nih.gov/nucleotide/OP546104.1?report=genbank&log\\$=nucltop&blast_rank=13&RID=UFBCH6B9013](https://www.ncbi.nlm.nih.gov/nucleotide/OP546104.1?report=genbank&log$=nucltop&blast_rank=13&RID=UFBCH6B9013). (January 30, 2023)

- Suzuki, K., K. Takahashi and N. Harada. 2020. Evaluation of primer pairs for studying arbuscular mycorrhizal fungal community compositions using a MiSeq platform. *Biology and Fertility of Soils* 56(6): 853-858.
- Syazwan, S., A. Sajap and R. Mohamed. 2015. *Metarhizium anisopliae* of Peninsular Malaysia origin poses high pathogenicity towards *Coptotermes curvignathus*, a major wood and tree pest. *Malaysian Forester* 78: 41-48.
- Tamura, K., G. Stecher and S. Kumar. 2021. MEGA11: molecular evolutionary genetics analysis version 11. *Molecular Biology and Evolution* 38(7): 3022-3027.
- Tangthirasunun, N., S. Poeaim, K. Soytong, P. Sommartya and S. Popoonsak. 2010. Variation in morphology and ribosomal DNA among isolates of *Metarhizium anisopliae* from Thailand. *Journal of Agricultural Technology* 6(2): 317-329.
- Thaochan, N. and W. Suasa-ard. 2017. Occurrence and effectiveness of indigenous *Metarhizium anisopliae* against adults *Zeugodacus cucurbitae* (Coquillett) (Diptera: Tephritidae) in Southern Thailand. *Songkla University Journal of Science and Technology* 39(3): 325-334.
- Thompson, J.D., T.J. Gibson, F. Plewniak, F. Jeanmougin and D.G. Higgins. 1997. The CLUSTAL_X windows interface: flexible strategies for multiple sequence alignment aided by quality analysis tools. *Nucleic Acids Research* 25(24): 4876-4882.
- Tulloch, M. 1976. The genus *Metarhizium*. *Transactions of the British Mycological Society* 66(3): 407-411.
- White, T.J., T. Bruns, S. Lee and J. Taylor. 1990. Amplification and direct sequencing of fungal ribosomal RNA genes for phylogenetics. pp. 315-322. In: M.A. Innis, D.H. Gelfand, J.J. Sninsky and T.J. White. (Eds.). *PCR protocols a guide to methods and applications*. Academic Press, San Diego.
- Xu, Y.L., S.X. Bao, H.Q. Huang, M. Liu and J. Zhu. 2012. Diversity and distribution of culturable fungi in mangrove soil in Hainan. (Online): Available Source: [https://www.ncbi.nlm.nih.gov/nucleotide/JQ889704.1?report=genbank&log\\$=nucltop&blast_rank=1&RID=U83FU99601N](https://www.ncbi.nlm.nih.gov/nucleotide/JQ889704.1?report=genbank&log$=nucltop&blast_rank=1&RID=U83FU99601N). (January 30, 2023)